

М. Ф. Митрохович

Інститут ядерних досліджень НАН України, Київ

## КОРЕЛЬОВАНІСТЬ РУХУ ЕЛЕКТРОНА АВТОІОНІЗАЦІЇ З ПОЗИТРОНОМ ПРИ $\beta^+$ -РОЗПАДІ

Дослідження корельованості електрона автоіонізації (як супутньої частинки) із позитроном (як основної частинки) проведено для розпаду  $^{152}\text{Eu}$  на установці вимірювання подвійних, потрійних та четверних збігів  $\gamma$ -квантів з  $\beta^\pm$ -частинками, електронами та з низькоенергетичними електронами, включаючи  $e_o$ -електрони вторинної електронної емісії. Корельованість  $\Upsilon = (4\pi/P)dP/d\Omega$  електрона «струсу» з позитроном вимірювалась відносно корельованості електрона «струсу» з  $\beta^-$ -частинкою на основі проведення вимірювань  $\gamma$ ,  $\gamma\beta$ ,  $\gamma(e_o + \beta)$ ,  $\gamma e_o$ ,  $\gamma\beta e_o$  і  $\gamma\beta\gamma_{511}e_o$ -спектрів. Установлено, що супутня частинка сильно скорельована по напрямку вперед з основною частинкою ( $\beta^\pm$ -частинка), причому корельованість  $\Upsilon$  руху з позитроном в 1,6 раза перевищує корельованість руху з  $\beta^-$ -частинкою і становить 5,2(20) при вимірюваннях у розпаді  $^{152}\text{Eu}$ . Дискутується можливий якісний механізм сильної корельованості руху супутньої частинки з основною у процесах  $\beta$ -розпаду та внутрішньої конверсії як зумовленою струмовими компонентами електрон-електронної прямої взаємодії частинок.

**Ключові слова:**  $\beta^\pm$ -розпади, електрон конверсії, електрон Оже, електрон "shake-off",  $^{152}\text{Eu}$ .

### Вступ

Ці дослідження виконані в рамках вивчення корельованості руху супутньої частинки з основною (головною) частинкою у процесах  $\beta$ -розпаду і внутрішньої конверсії. Супутня частинка - електрон автоіонізації (далі – електрон «струсу» ("shake-off")), електрон Оже. Головна частинка –  $\beta$ -частинка, електрон внутрішньої конверсії.

Основна мета робіт спрямована на вирішенні задач ядерної спектроскопії, що виникли з вимірювань на спектрометрі  $\pi\sqrt{2}$  спектрів конверсійних електронів у збігах із супутнім випромінюванням. Тоді був виявлений інтенсивний близьконульовий  $e_o$ -пік із «тонкого» ( $< 30 \text{ мкг/см}^2$ ) радіоактивного джерела за рахунок вторинної електронної емісії від електронів Оже. По  $e_o$ -електронах, але вже від зовнішнього емітера, були реалізовані вимірювання повних значень коефіцієнтів внутрішньої конверсії (КВК) на окремій установці.

У найпростішому випадку цих вимірювань, без відбору електрона конверсії

$$\text{КВК} = Y/P_o,$$

де  $Y$  – експериментальні значення виходу  $e_o$ -електронів на акт заселяючого розпаду;  $P_o$  – вихід  $e_o$ -електронів на акт конверсії, який можна поміряти окремо по відомому КВК чи при електронному захваті (при наявності цієї гілки розпаду). При вимірюваннях КВК по супутньому випромінюванню з відбором основної частинки (у збігах із нею) необхідні дані про наявність корельованості  $\Upsilon(\Omega)$ , де  $\Upsilon(\Omega) = (4\pi/P)dP/d\Omega$ , для всіх супутніх випромінювань (електрони «струсу», електрони Оже) з основною частинкою.  $P = \int dp$  – повна ймовірність випускання супутньої частинки на акт розпаду в кут  $4\pi$ ;  $dP(\Omega)$  – імовірність реєстрації супутньої частинки в кут  $d\Omega$  по відношенню до основної частинки. Таким чином,  $\Upsilon(\Omega)$  – це відношення ймовірності  $dP(\Omega)$  з відбором основної частинки до середнього її значення, рівному  $Pd\Omega/4\pi$ , вимірюваному без відбору основної частинки. Напрямок  $\Omega$  визначається детекторами  $De_{ac}$  і  $De_m$  супутньої та основної частинки по відношенню до джерела  $S$ . При відсутності корельованості  $\Upsilon = 1$  (рис. 1).

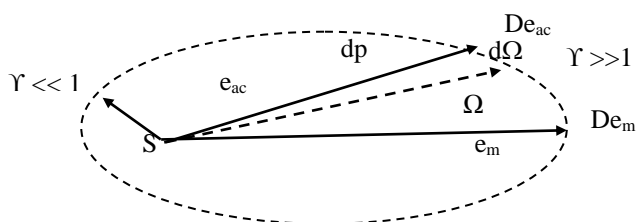


Рис. 1. Корельованість  $\Upsilon(\Omega)$  напрямку руху супутньої частинки  $e_{ac}$  із джерела  $S$  відносно головної частинки  $e_m$ , що реєструються детекторами  $De_{ac}$  і  $De_m$ .

За нашими даними [1 - 6], при  $\beta$ -розпаді та внутрішній конверсії спостерігається сильна корельованість напрямку руху частинок, супутньої (електрони «струсу» ("shake-off"), електрони

Оже) з основною ( $\beta$ -частинка, електрон конверсії). Вони рухаються разом з основною частинкою, головним чином у передню напівсферу. Корельованість  $\Upsilon \sim E^{1/2}$ , отримана нами раніше [3],

© М. Ф. Митрохович, 2016

є пропорційною імпульсу-швидкості електрона «струсу» і не залежить від енергії-імпульсу основної частинки (електрона) [4]. Це дає деяку підставу на припущення про те, що просторова кореляція напрямку руху супутньої частинки з основною зумовлена струмовими компонентами взаємодії від руху заряджених частинок [6]. Якщо це так, тоді корельованості в русі електрона «струсу» та основної частинки при  $\beta^-$  і  $\beta^+$ -розпадах [6] повинні бути схожими. У цьому випадку сильна просторова корельованість імпульсів руху  $\Upsilon = (4\pi/P)d\rho/d\Omega$  електронів «струсу» при  $\beta^+$ -розпаді в напрямку руху позитрона зробленому припущенню відповідає. В іншому разі питання залишається відкритим.

### Методика вимірювань та результати

Вимірювання корельованості  $\Upsilon_{\beta^+}$  руху електрона «струсу» з позитроном проведено для  $\beta^+$ -розпаду  $^{152}\text{Eu}$ , фрагмент розпаду якого показано на рис. 2.

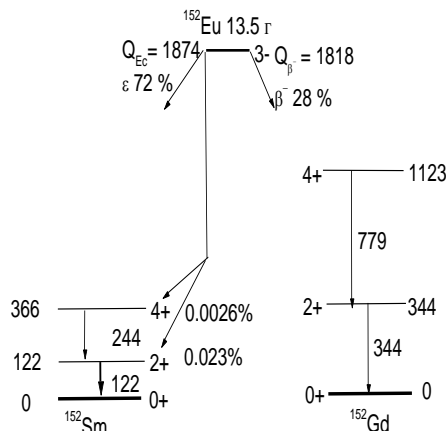


Рис. 2. Фрагмент схеми розпаду  $^{152}\text{Eu}$  з  $\text{EC}+\beta^+$ -і  $\beta^-$ -гілками розпаду. Інтенсивність  $\beta^+$ -компонента мала і визначення корельованості  $\Upsilon_{\beta^+}$  проведено відносно корельованості  $\Upsilon_{\beta^-}$ . Енергії  $\gamma$ -переходів наведено в кВ.

Вимірювання виконано на установці вимірювання подвійних, потрійних та четверних збігів  $\gamma$ -квантів із  $\beta$ -частинками, електронами та з низькоенергетичними електронами, включаючи  $e_o$ -електрони вторинної електронної емісії (BEE) (рис. 3). В установці є два сцинтиляційні  $\text{NaJ}(\text{Tl})$   $\gamma$ -детектори, на одному з яких (верхньому) вимірюються  $\gamma$ -спектри збігів, на іншому, великого об'єму, виділяється вікно реєстрації кванта 511 кВ від двофотонної анігіляції позитрона. Два детектори на основі мікроканальних пластин (MCP) реєструють електрони. Правий детектор реєструє  $\beta^\pm$ -частинку, що проходить через емітер  $E_m$ , лівий детектор реєструє  $e_o$ -електрони вторинної електронної емісії від електронів «струси»

«струси»  $e_{sh}$  з емітера. Електрони  $e_{sh}$  «струси» рухаються за напрямком руху  $\beta$ -частинки і створюють на емітері  $E_m$   $e_o$ -електрони, які при потенціалах  $U_s > U_L$  і  $E_m = 0$  В реєструються тільки від емітера  $E_m$  (алюміній 78 мк) і тільки лівим MCP-детектором.

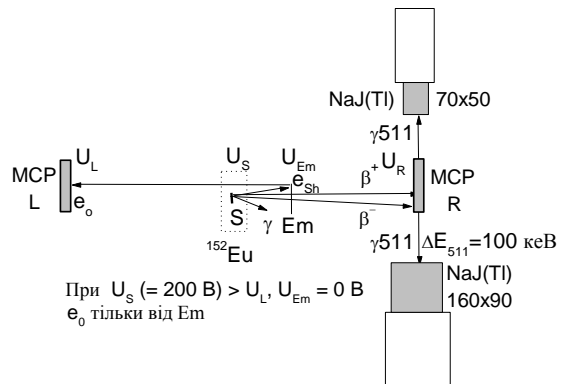


Рис. 3. Методика визначення корельованості  $\Upsilon$  руху електрона «струсу»  $e_{sh}$  з  $\beta^\pm$ -частинкою при реєстрації  $e_{sh}$  по  $e_o$ -електронах BEE. Корельованість  $\Upsilon_{\beta^+}$  відносно корельованості  $\Upsilon_{\beta^-}$  визначається за вимірюваннями  $\gamma\gamma_{511}\beta^+$ - і  $\gamma\gamma_{511}\beta^+e_o$ -збігів. Позитрони  $^{152}\text{Eu}$  після реєстрації правим MCP-детектором відбираються по двофотонному анігіляційному випромінюванню двома  $\gamma$ -детекторами.

Оскільки інтенсивність  $\beta^+$ -компонента розпаду  $^{152}\text{Eu}$  всього 0,026 %, то корельованість електрона «струсу» з позитроном  $\Upsilon_{\beta^+}$  вимірювалась відносно корельованості  $\Upsilon_{\beta^-}$  електрона «струсу» з  $\beta^-$ -частинкою.  $\Upsilon_{\beta^-}$  визначалась за  $\Upsilon$ -виходами  $e_o$ -компоненти на акт розпаду з відбором основної частинки та без її відбору з вимірювань  $\gamma$ ,  $\gamma\beta$ ,  $\gamma(e_o + \beta)$ ,  $\gamma\beta e_o$ -спектрів (рис. 4). Вихід  $\Upsilon_{\gamma\beta e_o}$  з відбором основної  $\beta^-$ -частинки відповідає руху електрона «струсу»  $e_{sh}$  (реєстрованому по  $e_o$ -електронах) по напрямку руху  $\beta^-$ -частинки. Вихід  $\Upsilon_{\gamma e_o}$  без відбору  $\beta^-$ -частинки відповідає довільному напрямку руху електрона  $e_{sh}$ .

$$\begin{aligned} \Upsilon_{\beta^-} &= \frac{\Upsilon_{\gamma\beta e_o}}{\Upsilon_{\gamma e_o}} = \frac{N\gamma_{344}\beta e_o / N\gamma_{344}\beta}{N\gamma_{344}e_o / N\gamma_{344}} = \\ &= \frac{0,00855(19)}{0,00265(8)} = 3,22(12). \end{aligned}$$

$\Upsilon_{\beta^+}$  визначалась на основі проведення вимірювань  $\gamma\beta\gamma_{511}$ - і  $\gamma\beta\gamma_{511}e_o$ -спектрів (рис. 5), в яких вимірювалась інтенсивність піка  $\gamma_{511}$  кВ по відношенню до  $\gamma_{344}$ ;  $\gamma$ -спектр  $\gamma\gamma_{511}\beta^+$ -збігів відповідає довільному напрямку руху електрона «shake-off»  $e_{sh}$  по відношенню до позитрона. Четверні  $\gamma\gamma_{511}\beta^+e_o$ -збіги відповідають руху електрона «shake-off»  $e_{sh}$ , (реєстрованому по  $e_o$ -електронах) уздовж напрямку руху позитрона.

$$\Upsilon_{\beta^+} = \Upsilon_{\beta^-} \frac{(N\gamma_{511}/N\gamma_{344})\gamma\beta\gamma_{511}e_0}{(N\gamma_{511}/N\gamma_{344})\gamma\beta\gamma_{511}} = 3,22(12) \frac{17(6)/201(9)}{244(30)/4651(42)} = 5,2(20).$$

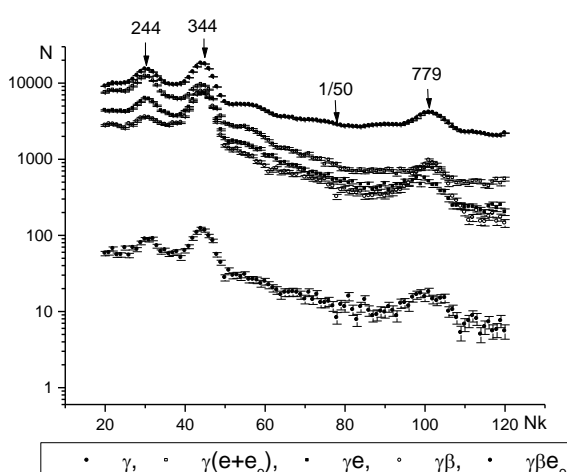


Рис. 4. Спектри, з яких вимірюються  $\Upsilon$ -виходи  $e_0$ -компоненти на акт  $\gamma$ 344- чи  $\gamma$ 344 $\beta$ -роздаду для визначення корельованості  $\Upsilon_\beta$ , як  $\Upsilon_{\gamma\beta e}/\Upsilon_{\gamma e}$ .

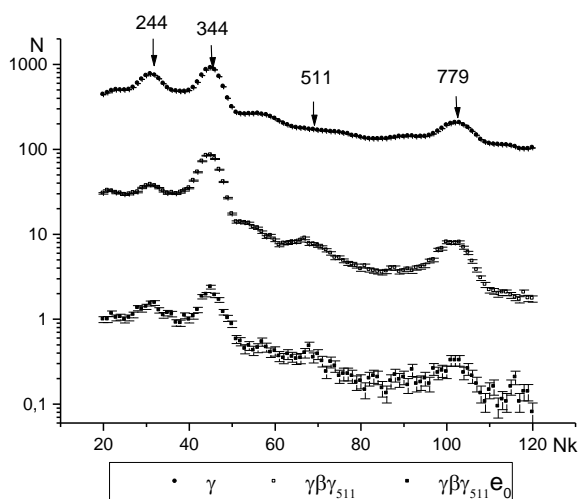


Рис. 5. Вимірювання корельованості  $\Upsilon_{\beta^+}$  руху електрона «струсу» із позитроном при  $\beta^+$ -роздаді відносно корельованості  $\Upsilon_\beta$  руху електрона «струсу» з електроном при  $\beta^-$ -роздаді по відносній інтенсивності піків 511 і 344 кеВ у спектрах  $\gamma\beta\gamma_{511}e_0$ - і  $\gamma\beta\gamma_{511}$ -збігів.

## Висновки

Таким чином, дані отримані по  $\beta^\pm$ -роздадах, указують на сильну корельованість  $\Upsilon$  напрямку руху супутньої частинки при її русі з основною частинкою, головним чином у передню напівсферу, причому корельованість руху з позитроном в 1,6 раза перевищує корельованість її напрямку руху з  $\beta^-$ -частинкою і становить 5,2(20) при вимірюваннях у розпаді  $^{152}\text{Eu}$ . Це відповідає зробленому в [6] припущення про можливість сильної корельованості руху супутньої частинки з основною у процесах  $\beta$ -роздаду та внутрішньої конверсії за рахунок струмових компонентів електрон-електронної взаємодії частинок, хоча й не доводить їхньої ролі як основного механізму корельованості. Можливо, це відбувається за рахунок механізму прямої взаємодії частинок. Про присутність прямої взаємодії свідчать теоретичні розрахунки [7], за якими внесок від прямої взаємодії  $\beta$ -частинки з електроном атомної оболонки

значний (до 35 %). Але в основному діє механізм раптового збурення [8] (уперше введений разом із механізмом прямої взаємодії Фейнбергом і Мігдалом ще в 1941 р.), оскільки «струс» (автоіонізація) в основному відбувається із зовнішніх оболонок атома [9] і енергія  $\beta$ -частинки на декілька порядків перевищує енергію зв'язку електронів у цих оболонках. Проте припущення про сильну корельованість супутньої частинки із основною за рахунок струмових компонентів електрон-електронної взаємодії легше всього пояснюється присутністю механізму прямої взаємодії  $\beta^\pm$ -частинки з електроном атомної оболонки.

Вивчення механізму сильної корельованості руху супутньої частинки з основною важливе для використання корельованості супутньої частинки з основною в точних вимірюваннях коефіцієнтів внутрішньої конверсії відповідною методикою. Воно важливе й у загальному плані для задачі про корельований рух заряджених частинок в імпульсному та спіновому просторі [8].

## СПІСОК ЛІТЕРАТУРИ

1. Mitrokhovich N.F. Corelation  $\beta$ -particle with "shake off" electrons under  $\beta$ -decay  $^{152}\text{Eu}$  // Proc. Intern. Conf. "Current Problems in Nuclear Physics and Atomic Energy" (Kyiv, May 29 - June 03, 2006) - K., 2007. - P. 412 - 416.
2. Mitrokhovich N.F., Kupryashkin V.T. Correlation electron internal conversion with "shake-off" electrons under  $\epsilon$ -decay  $^{152}\text{Eu}$  // Nucl. Phys. At. Energy. - 2007. - No.1 (19). - P. 61 - 66.
3. Mitrokhovich N.F. Energy and correlation properties of "shake-off" electrons at  $\beta$ -decay // Nucl. Phys. At. Energy. - 2010. - Vol. 11, No. 2. - P. 136 - 140.
4. Mitrokhovich N.F. Спектры энергий электронов автоионизации и их коррелированность по направлению вылета  $\beta$ -частицы // Ядерна фізика та енергетика. - 2012. - Т. 13, № 1. - С. 17 - 21.
5. Mitrokhovich N.F., Купряшкин В.Т., Сидоренко Л.П. Коррелированность направления движения электронов Оже с направлением движения электрона внутренней конверсии // Ядерна фізика та енергетика. - 2013. - Т. 14, № 2. - С. 129 - 134.
6. Mitrokhovich N.F. Корреляционные свойства движения сопутствующей частицы относительно движения основной частицы в процессах радиоактивно-

- го распада и внутренней конверсии // Ядерна фізика та енергетика. - 2014. - Т. 15, № 2. - С. 126 - 131.
7. Баткин И.С., Копытин И.В., Смирнов Ю.Г., Чуракова Т.А. Ионизация внутренних оболочек атома в процессе  $\beta$ -распада // Ядерная физика. - 1981. - Т. 33, вып. 1. - С. 48.
  8. Матвеев В.И., Парилис Э.С. Встряска при элек-
- тронных переходах в атомах // Успехи физических наук. - 1982. - Т. 138, вып. 4. - С. 573 - 602.
9. Kochur A.G., Popov V.A. Shake up and shake off probabilities for L-, M-, and N-electrons in atoms with Z = 3 to 60 // Radiation Physics and Chemistry. - 2006. - Vol. 75. - P. 1525 - 1528.

**Н. Ф. Митрохович**

*Институт ядерных исследований НАН Украины, Киев*

## КОРРЕЛИРОВАННОСТЬ ДВИЖЕНИЯ ЭЛЕКТРОНА АВТОІОНІЗАЦІЇ С ПОЗИТРОНОМ ПРИ $\beta^+$ -РАСПАДЕ

Исследования коррелированности электрона «встряски» (как сопутствующей частицы) с позитроном (как основной частицы) проведены для распада  $^{152}\text{Eu}$  на установке измерения двойных, тройных и четвертных совпадений  $\gamma$ -квантов с  $\beta^\pm$ -частицами, электронами и с низкоэнергетичными электронами, включая  $e_o$ -электроны вторичной электронной эмиссии. Коррелированность  $\Upsilon = (4\pi/P)dp/d\Omega$  электрона «встряски» с позитроном измерялась относительно коррелированности электрона «встряски» с  $\beta$ -частицей на основе проведения измерений  $\gamma$ ,  $\gamma\beta$ ,  $\gamma(e_o + \beta)$ ,  $\gamma\beta e_o$ ,  $\gamma\beta\gamma_{511}$  и  $\gamma\beta\gamma_{511}e_o$ -спектров. Установлено, что сопутствующая частица (электрон «встряски») сильно скоррелирована в направлении вперед с основной частицей ( $\beta^\pm$ -частица), причем коррелированность  $\Upsilon$  движения с позитроном в 1,6 раз превышает коррелированность движения с  $\beta$ -частицей и составляет 5,2(20) при измерениях в распаде  $^{152}\text{Eu}$ . Обсуждается возможный качественный механизм сильной коррелированности движения сопутствующей частицы с основной в процессах  $\beta$ -распада и внутренней конверсии как обусловленной токовыми компонентами прямого взаимодействия частиц.

*Ключевые слова:*  $\beta^\pm$ -распады, электрон конверсии, электрон Оже, электрон "shake-off",  $^{152}\text{Eu}$ .

**M. F. Mitrokhovich**

*Institute for Nuclear Research, National Academy of Sciences of Ukraine, Kyiv*

## CORRELATION MOTION OF THE AUTOIONIZATION ELECTRON WITH POSITRON AT $\beta^+$ -DECAY

Correlation study of the "shake-off" electron (as accompanying particle) with positron (as main particle) have been performed for  $^{152}\text{Eu}$  decay on installation for measure double, triple, fourth  $\gamma$ -quanta coincidences with  $\beta^\pm$ -particles, electrons and with law energy electrons, including  $e_o$ -electrons of the secondary electron emission. Correlation  $\Upsilon = (4\pi/P)dp/d\Omega$  of "shake-off" electron with positron was measured regarding correlation of "shake-off" electron with  $\beta^-$ -particle on the basis of the measurements of  $\gamma$ ,  $\gamma\beta$ ,  $\gamma(e_o + \beta)$ ,  $\gamma\beta e_o$  and  $\gamma\beta\gamma_{511}$ ,  $\gamma\beta\gamma_{511}e_o$ -spectra. It was established that accompanying particle "shake-off" electron is strongly correlated forward with the main particle ( $\beta^\pm$ -particle) and correlation of  $\Upsilon$  motion with positron is 1.6 times greater than correlation motion with  $\beta^-$ -particle and is 5.2(20) at the measurement in  $^{152}\text{Eu}$  decay. Possible qualitative mechanism of strong correlation motion of the accompanying particle with the main in  $\beta$ -decay processes and internal conversion, caused by current components of the direct interaction of particles is discussed.

*Keywords:*  $\beta^\pm$ -decays, conversion electron, Auger electron, "shake-off" electron,  $^{152}\text{Eu}$ .

## REFERENCES

1. Mitrokhovich N.F. Corelation  $\beta$ -particle with "shake off" electrons under  $\beta$ -decay  $^{152}\text{Eu}$  // Proc. Intern. Conf. "Current Problems in Nuclear Physics and Atomic Energy" (Kyiv, May 29 - June 03, 2006) - Kyiv, 2007. - P. 412 - 416.
2. Mitrokhovich N.F., Kupryashkin V.T. Correlation electron internal conversion with "shake-off" electrons under  $\varepsilon$ -decay  $^{152}\text{Eu}$  // Yaderna fizyka ta atomna energetyka. (Nucl. Phys. At. Energy). - 2007. - No. 1 (19). - P. 61 - 66.
3. Mitrokhovich N.F. Energy and correlation properties of "shake-of" electrons at  $\beta$ -decay // Yaderna fizyka ta atomna energetyka. (Nucl. Phys. At. Energy). - 2010. - Vol. 11, No. 2. - P. 136 - 140.
4. Mitrokhovich N.F. // Yaderna fizyka ta atomna energetyka. (Nucl. Phys. At. Energy). - 2012. - Vol. 13, No. 1. - P. 17 - 21. (Rus)
5. Mitrokhovich N.F., Kupryashkin V.T., Sidorenko L.P. // Yaderna fizyka ta atomna energetyka. (Nucl. Phys. At. Energy). - 2013. - Vol. 14, No. 2. - P. 129 - 134. (Rus)
6. Mitrokhovich N.F. // Yaderna fizyka ta atomna energetyka. (Nucl. Phys. At. Energy). - 2014. - Vol. 15, No. 2. - P. 126 - 131. (Rus)
7. Batkin I.S., Kopytin I.V., Smirnov Yu.G., Churakova T.A. // Yadernaya fizika. - 1981. - Vol. 33, Iss. 1. - P. 48. (Rus)
8. Matveev V.I., Parilis E.S. // Uspekhi fizicheskikh nauk. - 1982. - Vol. 138, Iss. 4. - P. 573 - 602. (Rus)
9. Kochur A.G., Popov V.A. Shake up and shake off probabilities for L-, M-, and N-electrons in atoms with Z = 3 to 60 // Radiation Physics and Chemistry. - 2006. - Vol. 75. - P. 1525 - 1528.

Надійшла 11.02.2016  
Received 11.02.2016